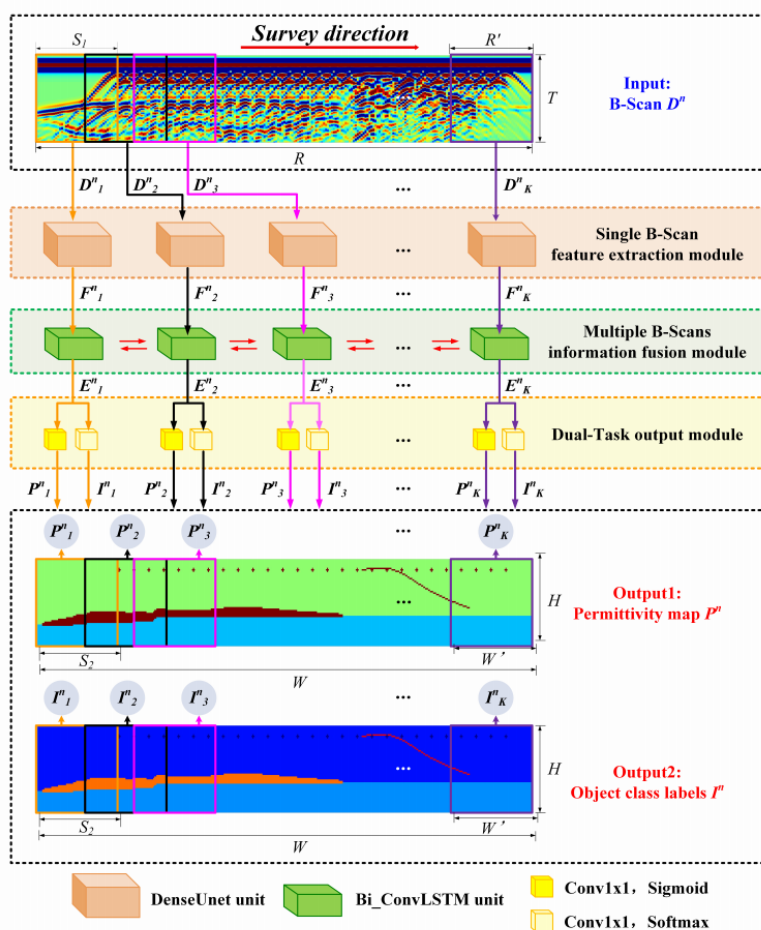


# GPRI2Net实现文档

## 1. 核心框架



a.

- 对应文件GPRI2Net.py
- 第一层每一个橙色都是一个DenseUNet，详细见b.
- 第二层是由两层ConvLSTM组成，详细见c.
- 第三层是两个1x1Conv用于把通道减少到所需的个数，P图为衍生图，只有一个通道，I图为分类图，有C个通道，C指不同种类的介质或者缺陷

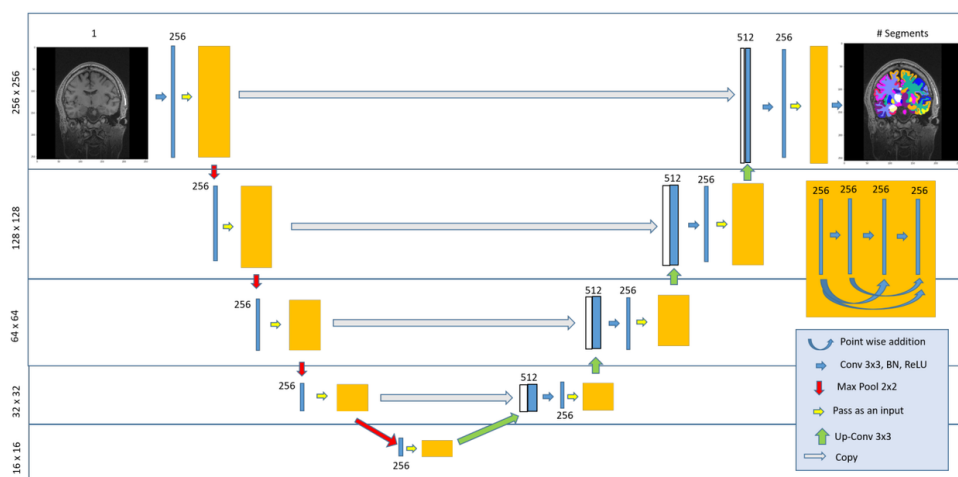
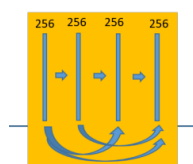


Figure 1: Schematic Diagram of DenseUNet

b.

- i. 对应文件DenseUNet.py
- ii. 这张图里面的黄橙色方块是一个DenseBlock



1.  Conv 3x3, BN, ReLU

- ## 2. 对应类DenseBlock

3. 每后面一个层就会累加前面的层的结果，不是concat，对每一个元素做加法

- a. 比如第三层就要加上第一，二层，第四层加上第一，二，三层

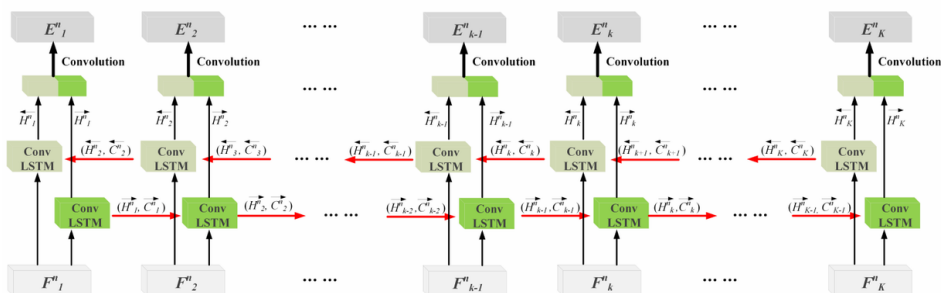
4. 其中每一层到后一层之间要经过Conv 3x3 BN Relu（对应类ConvToBNTToRelu）三个步骤

- a. 第一层 -> 第二层, 第二层 -> 第三层, 第三层 -> 第四层

- iii. 红色箭头对应代码里面的Downsampling (对应类DownSample)

- iv. 黄色箭头指直接把上一个的输出输入到下一个块里面

- v. 绿色箭头对应的upsampling，实际上是transposed convolution的操作（对应类UpSampleAndConcat，但这个类里面同时把每个downsampling的denseblock的输出和upsample的输出concat到一起，如图灰色长箭头所示）



C.

- i. 对应文件ConvLSTM.py
- ii. 文件包含两个类:

## 1. ConvLSTMUnit

a. 对应图标里面绿色的小盒子

b. 基本由公式组成

$$i_k^n = \delta(W_{fi} * F_k^n + W_{hi} * H_{k-1}^n + b_i)$$

$$f_k^n = \delta(W_{ff} * F_k^n + W_{hf} * H_{k-1}^n + b_f)$$

$$o_k^n = \delta(W_{fo} * F_k^n + W_{ho} * H_{k-1}^n + b_o)$$

$$C_k^n = f_k^n \odot C_{k-1}^n + i_k^n \odot \tanh(W_{fc} * F_k^n + W_{hc} * H_{k-1}^n + b_c)$$

c.  $H_k^n = o_k^n \odot \tanh(C_k^n)$  (4)

d. 其中  $\delta$  为sigmoid函数

e. “\*”为convolution操作符

f.  $\odot$ 为hadamard product (对两个tensor中的每个元素一一对应相乘, elementwise product)

g. 所有的W为3x3 Conv 拥有64个通道

h. 所有的b都是bias

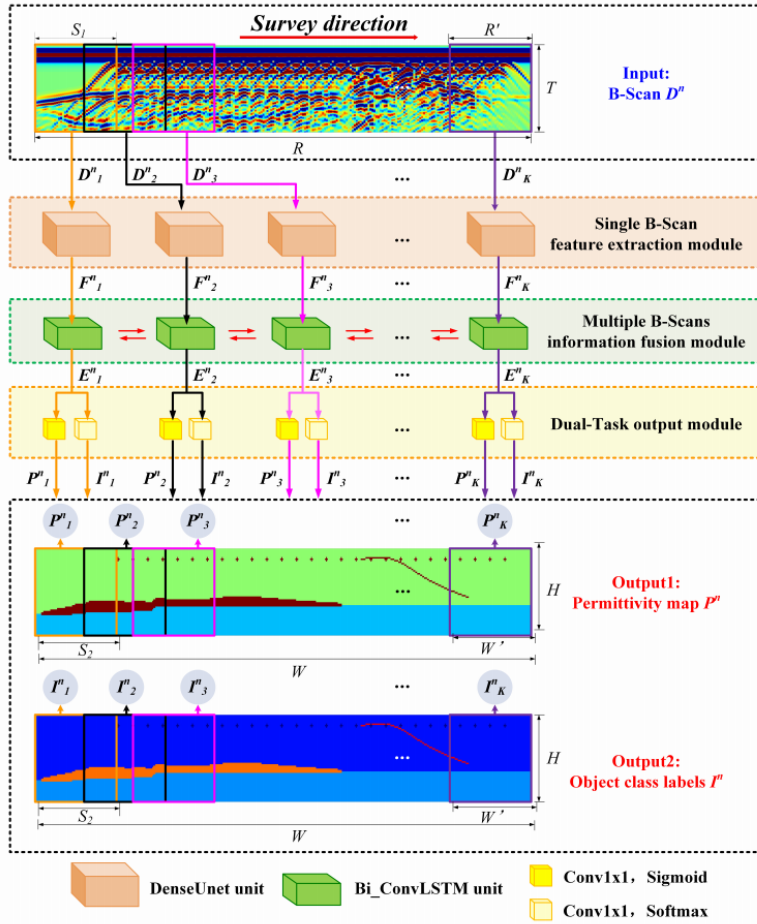
## 2. ConvLSTM

a. 由红色箭头串联起来的多个ConvLSTMUnit组成的一层, 每一个ConvLSTMUnit的输出都会作为下一个ConvLSTMUnit输入的数据之一

b. 拥有两个方向"forward"和"backward"对应图中的两层

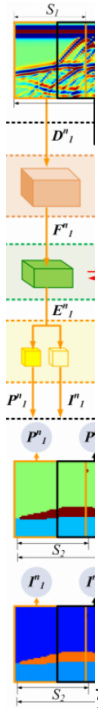
c. 两层的输入会concat到一起 (共128个通道), 最后通过一个convolution压缩到64个通道

## 2. 整个模型运行流程



a.

b. 整个模型除开红色箭头竖着看，是一条线一条线产出的如下图



c. 如果需要，这个模型可以横向无限扩展下去

d. 一个长图会被分成很多个正方形图片，论文中采用128x128的大小作为输入D

e. D被输入到DenseUNet输出128x128单通道图片，作为基本特征提取，输出为F

- f. F输入到两个ConvLSTMUnit，一个"forward"，一个"backward"如上面提及1.c，输出E
- g. E输入到两个不同的层里面（论文称为双任务输出层），一个为1x1Conv + sigmoid作为衍生图输出，一个为1x1Conv + softmax作为分类图输出
- h. 模型整体输入为[D1,D2,.....,Dn]，通过整个第一层输出为[F1,F2,F3,.....,Fn]，通过整个第二层输出为[E1,E2,E3,.....,En]，最后通过双任务输出层输出两个列表，[P1,P2,P3,.....,Pn]为衍生图，[I1,I2,I3,.....,In]为分类图

### 3. 损失函数

- a. LossFunction.py

- b. 
$$L = \lambda_1 L_{MAE} + \lambda_2 L_{SSIM} + \lambda_3 L_{LZS}$$

- c. 
$$L_{MAE} = \frac{1}{H * W} \sum_{h=1}^H \sum_{w=1}^W |P_k^n(h, w) - \overline{P_k^n}(h, w)|$$
  

$$L_{SSIM} = -\frac{1}{H * W} \sum_{h=1}^H \sum_{w=1}^W SSIM(P_k^n(x_{(h,w)}), \overline{P_k^n}(y_{(h,w)}))$$

论文对SSIM（图片相似度）的描述并不详细，目前采用网上已有开源代码库实现，本文实现的描述的SSIM与SSIM原论文有所不同这里直接使用负号，SSIM原论文使用1 - SSIM()作为loss function

$L_{LZS}$  was employed to optimize the mean intersection over union (MIOU) of the identification results, and  $L_{LZS}$  is expressed as follows:

$$L_{LZS} = \frac{1}{C} \sum_{c=1}^C \overline{\Delta J_c}(m_c) \quad (3)$$

where  $C$  is the total number of object classes in the datasets,  $\overline{\Delta J_c}$  is the Lovász extension to the Jaccard index of the class  $c$ ,

- d. and  $m_c$  is a vector of pixel identification errors for class  $c$ . 对LZS（lovasz softmax）描述也不详细，目前采用网上已有的开源代码库实现。

### 4. 输入输出处理

- a. 原论文的数据为700个采样点，250道数据，共5M，也有10M的数据，共500到数据
- b. 输出图为60 x 500对应5m的图，60 x 1000对应10M的图
- c. 700 x 50为一个D数据，resize到128x128进入模型